

Stabilität: "kleine Störungen in den Daten ändern die persistente Homologie nur unwesentlich"

① Ein parameter familien

Daten: K Simplicialkomplex

$f, g: K \rightarrow \mathbb{R}$ zwei monotone Funktionen.

$$\begin{aligned} (\text{d.h. } \varsigma \in \tau \text{ in } K \Rightarrow f(\varsigma) \leq f(\tau)) \\ g(\varsigma) \leq g(\tau) \end{aligned}$$

Notation: $F: K \times [0,1] \rightarrow \mathbb{R}$

$$(\varsigma, t) \mapsto (1-t)f(\varsigma) + t \cdot g(\varsigma) =: f_t(\varsigma)$$

Beachte: Aus der Monotonie von f und g folgt:

$$\varsigma \leq \tau \Rightarrow f_t(\varsigma) \leq f_t(\tau)$$

d.h. die f_t sind "gleichmäßig monoton"

\Rightarrow auf K existiert eine Ordnung, die mit der durch die f_t definierte partielle Ordnung und der Seitenrelation verträglich ist.

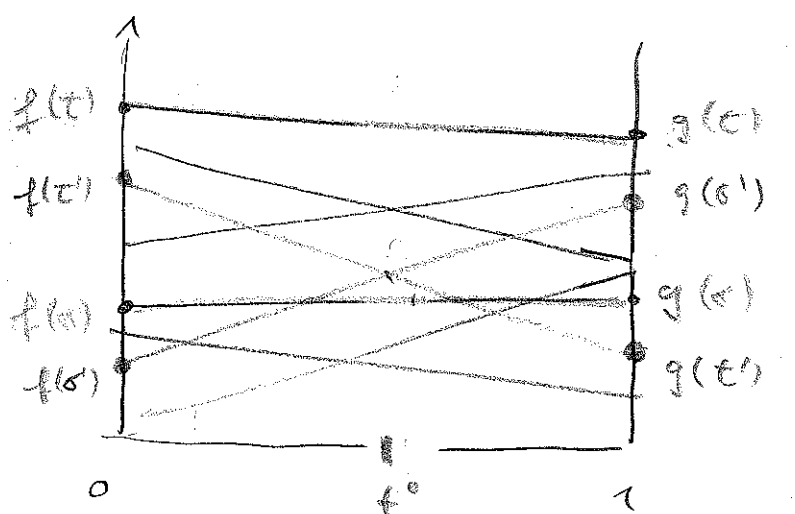
z.B. für jedes f_t können wir dann (separat) die persistente Homologie berechnen

Überlegung: unterschneid sich f und g nicht wesentlich, so kann man vielleicht die potentielle Homologie für g bzw. die F_f aus der von f einfacher erhalten.

Annahme (zur Vereinfachung): f und g seien injektiv.

→ f und g definieren Ordnungen auf K .

Frage: Wie ändert sich die Ordnung mit ϵ ?



Für alle $t \in [0, 1]$
ist $g < t$,

Für $t \in [0, t_0)$
gilt $t' < t'$,
für $t \in (t_0, 1]$
gilt $t' > t'$

Notation: Die Werte in $[0, 1]$, bei den Kreuzungen
im obige Diagramm vorliegen, nennen wir krit. Werte

Annahme (weitere Vereinfachung): Es gibt keine zwei Paare von "Linien" die sie an ein und den selben kritischen Wert kreuzen.

D.h. bei jedem kritischen Wert gibt es genau eine Transportkurve.

Folgerungen:

- es gibt nur endlich viele kritische Werte
- außer an die kritischen Werte legt f_f eine Ordnung fest; durchläuft t einen kritischen Wert ändert sich die Ordnung um (genau) eine Transposition.

→ Untersuche die Auswirkungen einer Transposition auf die persistente Homologie

Zum: Ist n die Anzahl der Simplices in K , so können max. $\binom{n}{2}$ Transpositionen auftreten. In dieser "worst case"-Szenario ist der Rechenaufwand mit den im Folgenden angegebenen Rechenverfahren für Verarbeitung von Transpositionen ebenso aufwändig wie die Berechnung der persistente Homologie bzgl. g unabhängig von f .

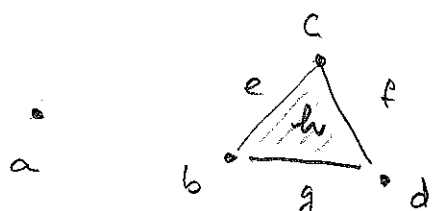
→ Jedoch erhält man interessante Daten als Zwischenergebnis.

② Berechnung der persistente Homologie
(Wiederholung am Beispiel)

Verfahren:

- Bestimmen aus den Daten die "Randoperatormatrix" ∂

- Reduzieren ∂ , und bestimmen aus der reduzierten Matrix leicht das Persistenzdiagramm.



$$f: K \rightarrow \mathbb{R}$$

	s_1	s_2	s_3	s_4	s_5	s_6	s_7	s_8
a	1	0	0	0	0	0	0	0
b	0	1	0	0	0	0	0	0
c	0	0	1	0	0	0	0	0
d	0	0	0	1	0	0	0	0
e	0	0	0	0	1	0	0	0
f	0	0	0	0	0	1	0	0
g	0	0	0	0	0	0	1	0
w	0	0	0	0	0	0	0	1

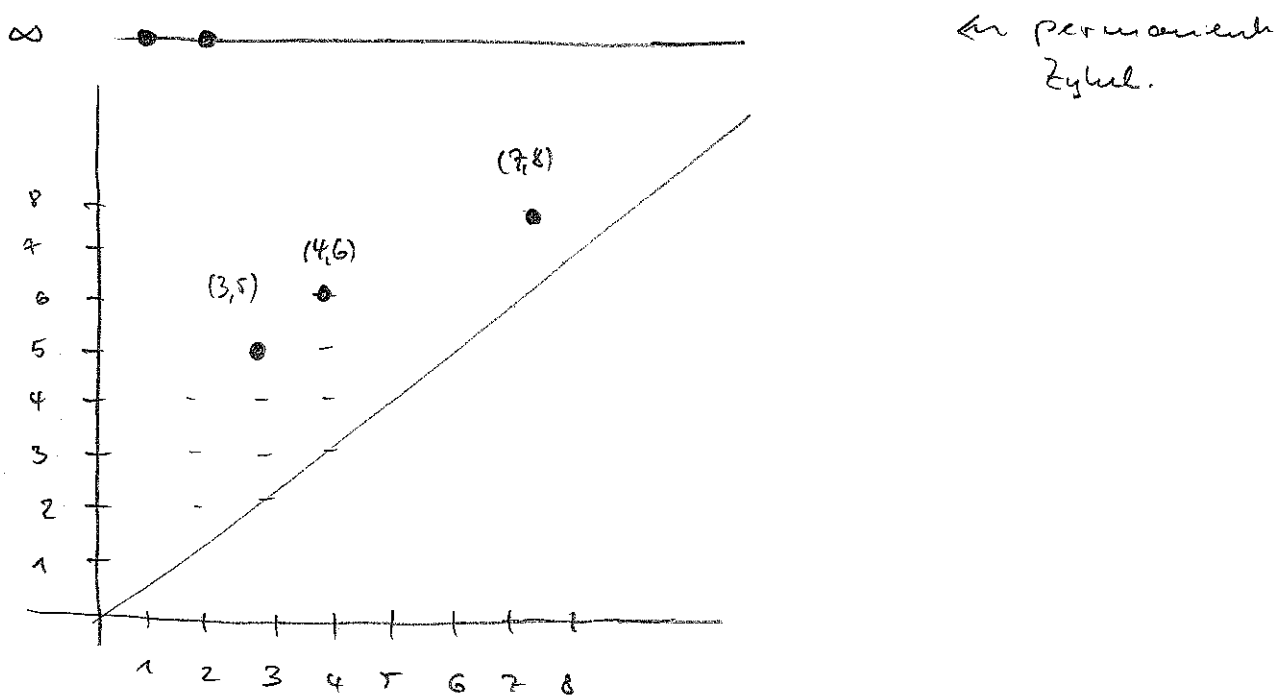
$$\partial = \left(\begin{array}{ccccccc} 0 & 0 & 0 & 0 & 0 & 0 & 0 \\ 1 & 0 & 1 & 0 & 0 & 0 & 0 \\ 0 & 1 & 0 & 1 & 0 & 0 & 0 \\ 0 & 0 & 1 & 0 & 1 & 0 & 0 \\ 0 & 0 & 0 & 1 & 0 & 1 & 0 \\ 0 & 0 & 0 & 0 & 1 & 0 & 1 \\ 0 & 0 & 0 & 0 & 0 & 1 & 0 \\ 0 & 0 & 0 & 0 & 0 & 0 & 1 \end{array} \right) \quad \begin{matrix} a \\ b \\ c \\ d \\ e \\ f \\ g \\ w \end{matrix}$$

nicht
reduziert!

$$\rightsquigarrow \partial' = \left(\begin{array}{cccc} 0 & 0 & 0 & 0 \\ 1 & 0 & 0 & 0 \\ 0 & 1 & 0 & 0 \\ 0 & 0 & 1 & 0 \end{array} \right) \quad \begin{matrix} a \\ b \\ c \\ d \end{matrix}$$

Regeln zur Erstellung der Persistencediagramme:

- erhält einen Punkt bei $(f(\xi_i), \infty)$, falls i eine Nullhöhezeile ist direkt und die i -te Zeile keine lowest 1 hat.
- erhält einen Punkt bei $(f(\xi_i), f(\xi_j))$, falls i eine Nullhöhezeile ist direkt und $j = \text{low}(\xi_i)$



Wesentliche Punkte:

- Man erhält eine Zerlegung $R = \partial \cdot V$
mit: R ist reduziert, V ist eine obre Dreiecksmatrix
- Die Zerlegung ist nicht eindeutig, die Daten, die wir aus ihr ableiten aber schon!

Kodiert die
Additionen, die
zur Reduktion
führen

(3) Auswirkungen einer Transposition auf die Berechnung der persistenter Homologie

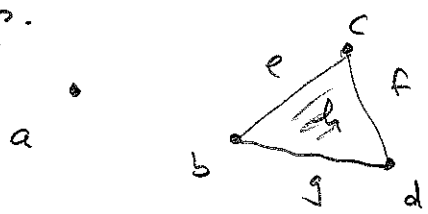
Der "neue" Randoperator ist

$$\begin{aligned}\partial' &= P \partial P \quad , \text{ mit } P = \begin{pmatrix} 1 & & & & \\ & 1 & & & \\ & & 1 & & \\ & & & 0 & 1 \\ & & & & 1 \\ & & & & & 1 \\ & & & & & & 1 \\ & & & & & & & 1 \\ & & & & & & & & 1 \\ & & & & & & & & & 1 \\ & & & & & & & & & & 1 \\ & & & & & & & & & & & 1 \\ & & & & & & & & & & & & 1 \\ & & & & & & & & & & & & & 1 \\ & & & & & & & & & & & & & & 1 \\ & & & & & & & & & & & & & & & 1 \\ & & & & & & & & & & & & & & & & 1 \end{pmatrix} \\ &= PRVP \\ &= \underbrace{(PRP)}_{R'} \underbrace{(PVP)}_{P'}\end{aligned}$$

- im Allg. ist $R' = PRP$ nicht reduziert
- " " " $V' = PVP$ keine obere Dreiecksmatrix

→ aber das kann man bei den durch geeignete Modifikationen leicht ändern.; und zwar durch sehr einfache Algorithmen.

Bsp.



	a	b	c	d	e	f	g	h
f	1	2	3	4	5	6	7	8
g	1	2	3,5	4	5,5	5,4	7	8

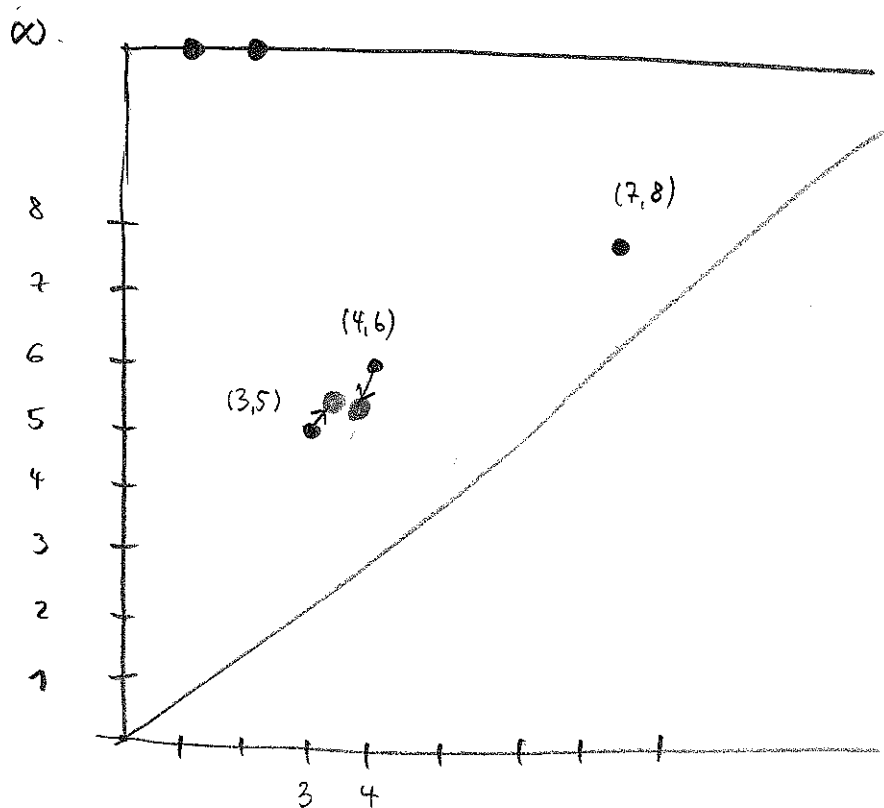
→ Die Ordnungen unterscheiden sich durch die Transposition, die e und f vertauscht.

$i=5$

$$PR'P = \left(\begin{array}{c} \boxed{0\ 0\ 0\ 0\ 1} \\ \boxed{\begin{array}{ccccc} 1 & 0 & 0 \\ 0 & 1 & 0 \\ 1 & 1 & 0 \end{array}} \\ \boxed{\begin{array}{c} 1 \\ 1 \\ 1 \\ 0 \end{array}} \end{array} \right)$$

Algorithmus liefert: addiere i -te Spalte zu
 $(i+1)$ -ter Spalte.

$$\sim = \left(\begin{array}{c} \boxed{1\ 0\ 0\ 0\ 0} \\ \boxed{\begin{array}{ccccc} 1 & 1 & 0 \\ 0 & 1 & 0 \\ 1 & 0 & 0 \end{array}} \\ \boxed{\begin{array}{c} 1 \\ 1 \\ 1 \\ 0 \end{array}} \end{array} \right)$$



regelmäßiges
für Persistence diagram

④ Der Filaschenhalbdurchmesser (bottleneck distance)

Ziel des Abschnitts: Maß für unterschiedliche Persistencediagramme

Annahme (zu vereinfachen):

- 1) wir arbeiten mit reduzierter Homologie
- 2) wir nehmen an: $\tilde{H}_*(K) = 0$.

Beachte: unter diesen Voraussetzungen gibt es

- keine permanenten Zyklen; zugehörige Persistencediagramme liegen also in \mathbb{R}^2 .
- jedes Persistencediagramm besitzt $\frac{|K|}{2}$ Punktpaare:

Erinnerung: Sei $f: K \rightarrow \mathbb{R}$ monoton und injektiv, und es sei $\delta_1 < \delta_2 < \dots < \delta_m$ die reelle. Ordnung der Scipthes.

Def (δ_i, δ_j) ist ein Paar, falls $i \in R$ die i -te Spalte eine Nullenspalte ist, und $i = \text{low}(j)$.

Ist (δ_i, δ_j) ein Paar so repräsentiert δ_i eine Homologiekette, die bei $f(\delta_i)$ gebrochen wird und bei $f(\delta_j)$ stirbt. Wegen $\tilde{H}_*(K) = 0$ lässt sich δ_i in Paare aufteilen.

Def. (i) Für $x, y \in \mathbb{R}^2$ setze $\|x - y\|_\infty = \sup \{|x_1 - y_1|, |x_2 - y_2|\}$

(ii) Sind X und Y zwei bijektive endl. Mengen in \mathbb{R}^2 ; setze

$$w_\infty(X, Y) = \inf_{\substack{\gamma: X \rightarrow Y \\ \text{bij.}}} \sup_{x \in X} \|x - \gamma(x)\|_\infty$$

Der Flächenabstand zweier Punktmengen $D_{\text{fläc}}(f)$ und $D_{\text{fläc}}(g)$ ist definiert durch

$$w_\infty(D_{\text{fläc}}(f), D_{\text{fläc}}(g))$$

Anschauung:

$$w_\infty(X, Y) < \varepsilon$$

\Leftrightarrow es gibt eine

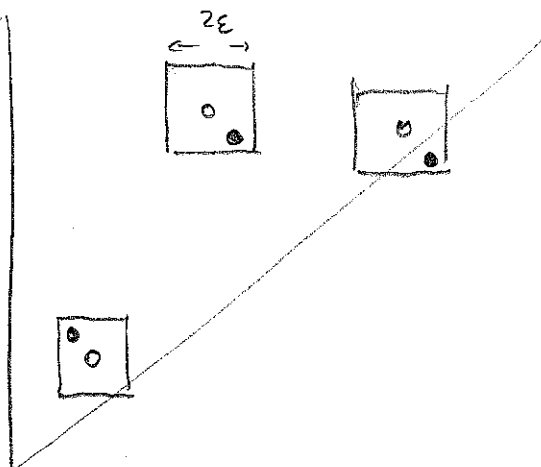
Bijektion $\gamma: X \rightarrow Y$,

so dass $\forall x \in X$ gilt:

$\gamma(x)$ liegt im Quadrat

mit Kantenlänge 2ε

um x .



Prop. Es gilt • $w_\infty(X, Y) = 0 \Leftrightarrow X = Y$

$$\bullet w_\infty(X, Y) = w_\infty(Y, X)$$

$$\bullet w_\infty(X, Z) \leq w_\infty(X, Y) + w_\infty(Y, Z)$$

für drei bijektive endl. Mengen X, Y, Z in \mathbb{R}^2 . /9

Stabilitätsatz: Es sei K ein Simplexkomplex mit $\tilde{H}_*(K) = 0$. Weiter seien $f, g: K \rightarrow \mathbb{R}$ zwei monotone Funktionen, die den obigen Annahmen genügen. Dann gilt:

$$W_\infty(Dgm[f], Dgm[g]) \leq \|f - g\|_\infty$$

wobei $\|f - g\|_\infty = \sup_{\zeta \in K} \|f(\zeta) - g(\zeta)\|$.

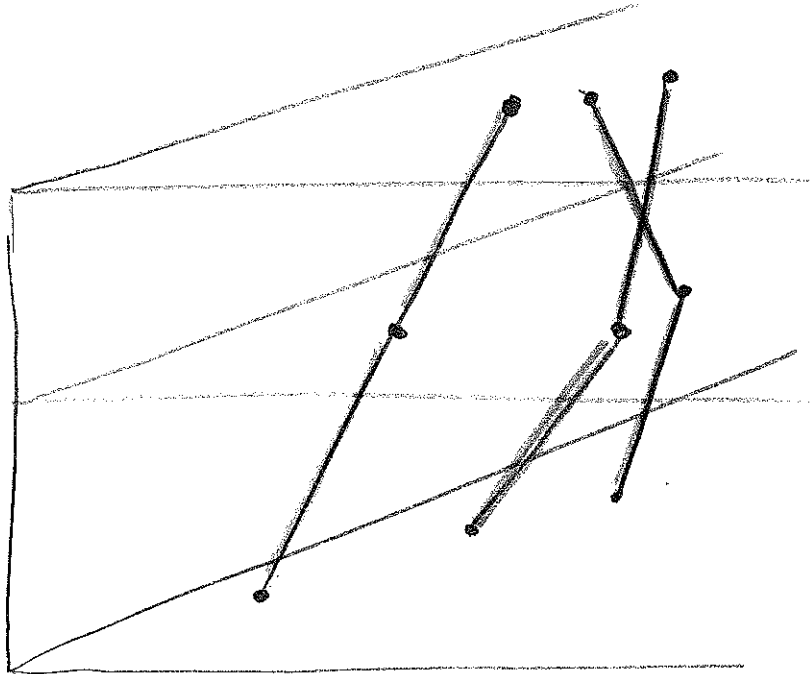
⑤ Beweis des Stabilitätsatzes mit Reisen im Weingarten

wir betrachten wieder

$$f_t = (1-t)f + t g$$

und stellen die Permutz diagramme für die $f_t; t \in [0,1]$ in $\mathbb{R}^2 \times [0,1]$ dar.

Bsp.



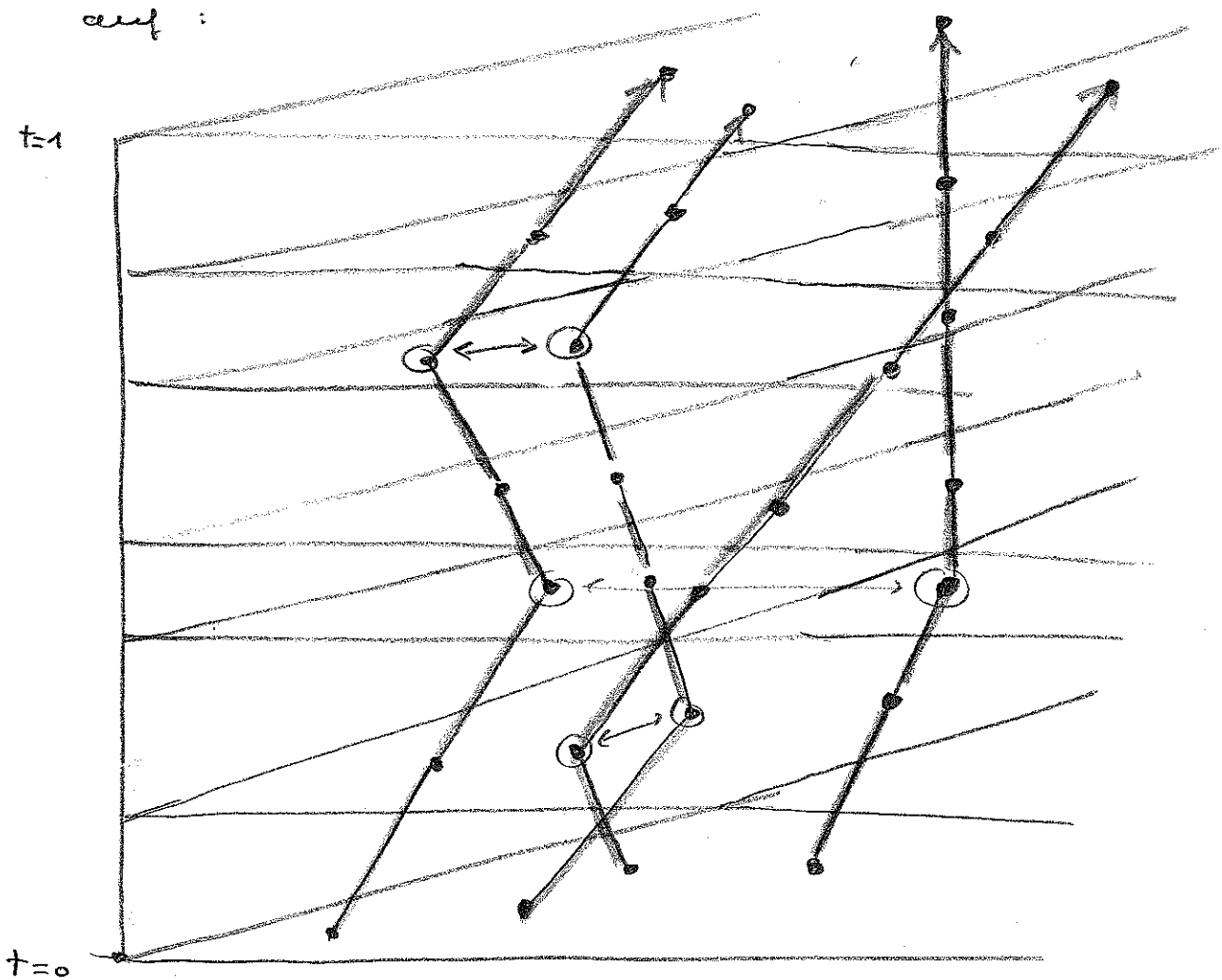
Ein Knick tritt auf, wenn sich durch die Transpositionen zwei Paare ändern; in diesem Fall sagt man die Transposition liefert ein switch.

Bem. Bei einem switch ändern wir genau zwei Paare, und zwar wie folgt:

$$\begin{array}{ll} \text{- entweder } & (\delta_{i_1}, \delta_{j_1}) \\ & (\delta_{i_2}, \delta_{j_2}) \end{array} \rightsquigarrow \begin{array}{l} (\delta_{i_2}, \delta_{j_1}) \\ \downarrow \\ (\delta_{i_1}, \delta_{j_2}) \end{array}$$

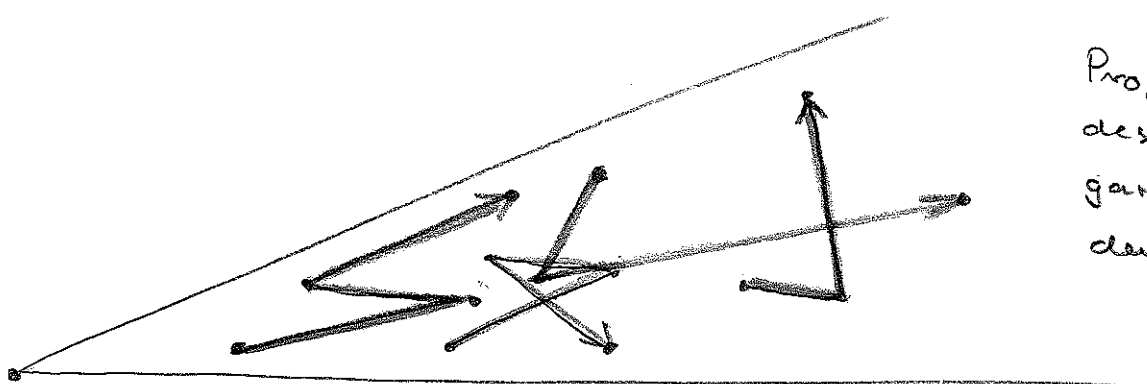
$$\begin{array}{ll} \text{- oder } & (\delta_{i_1}, \delta_{j_1}) \\ & (\delta_{i_2}, \delta_{j_2}) \end{array} \rightsquigarrow \begin{array}{l} (\delta_{i_1}, \delta_{j_2}) \\ \uparrow \\ (\delta_{i_2}, \delta_{j_1}) \end{array}$$

Im allgemeinen treten mehrere Transpositionen auf:

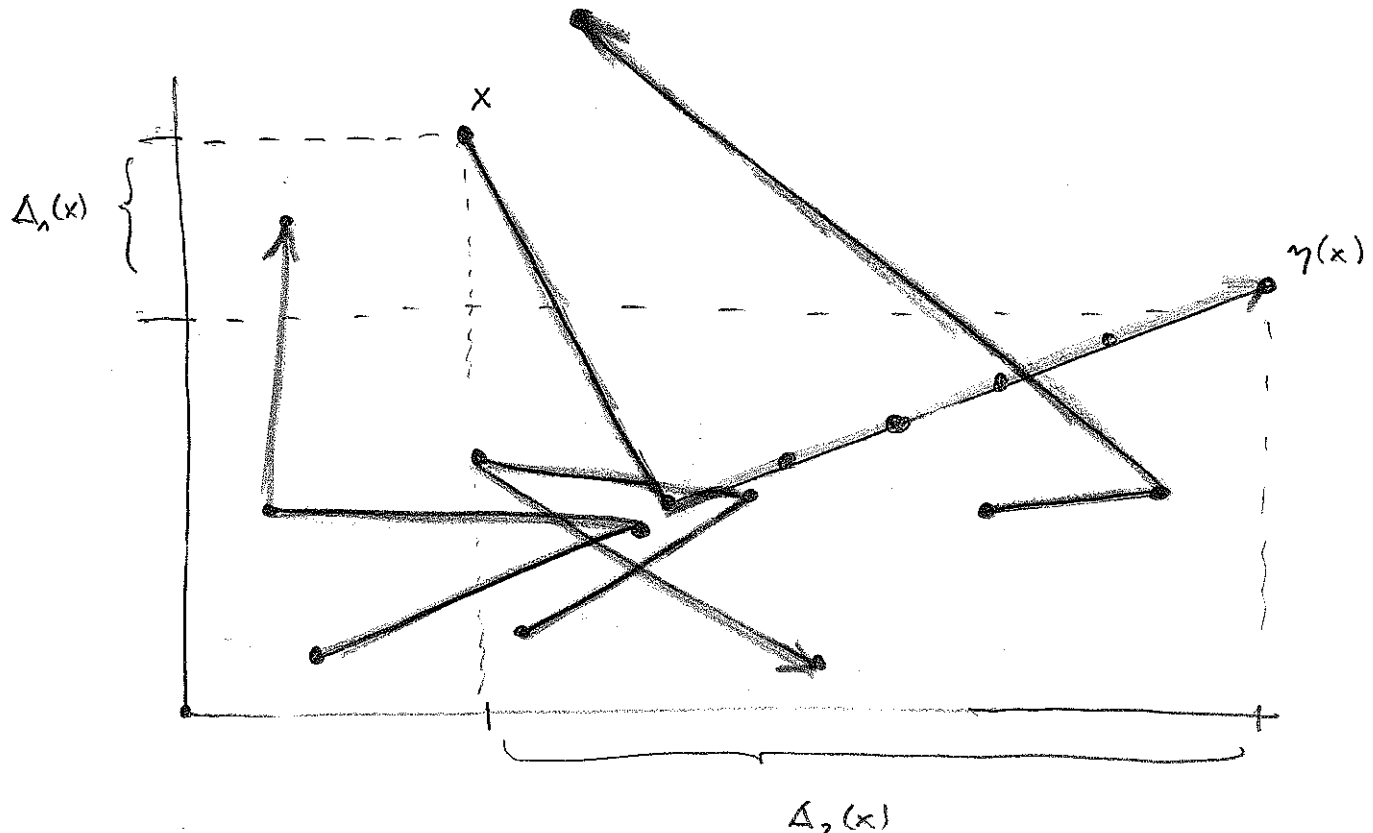


Beispiel mit 5 Transpositionen und 3 Switches.

Notation: Die einzelnen Stränge nennt man Reben (vines), und das ganze Ensemble einen Weingarten (vineyard).



Durch die Projektion auf den \mathbb{R}^2 kann man eine Abschätzung für den Flächenabstand zwischen $D_{\text{gen}}'(f)$ und $D_{\text{gen}}'(g)$ erhalten.



Ein wenigstens liefert über die Reihen eine Bijektion

$$D_{\text{gen}}'(f) \xrightarrow{\gamma_0} D_{\text{gen}}'(g)$$

Für Punkte $x \in D_{\text{gen}}'(f)$ gilt:

$$\|x - \gamma_0(x)\|_\infty = \max\{|\Delta_1(x)|, |\Delta_2(x)|\}$$

Es sei $x = (f(\zeta), f(\tau))$, i.e. für $t=0$ ist (ζ, τ) ein Paar.

Weiterhin seien für $i=1 \dots n$ die t_i mit

$t_0 = 0 < t_1 < t_2 < \dots < t_{n+1} = 1$ die krit. Werte.

Der polygonale Weg von x nach $y(x)$ ist dann gegeben durch

$$\omega : [0, 1] \rightarrow \mathbb{R}^2$$

$$\omega(t) = ((1-t)f(\zeta_i) + t g(\zeta_i), (1-t)f(\tau_i) + t g(\tau_i))$$

für $t \in [t_i, t_{i+1}]$ und i : Paar (ζ_i, τ_i) bzgl. f_f .

$$\Rightarrow \|\omega(t_{i+1}) - \omega(t_i)\|_\infty \leq (t_{i+1} - t_i) \cdot \max \{\|f(\zeta_i) - g(\zeta_i)\|_\infty, \|f(\tau_i) - g(\tau_i)\|_\infty\}$$

$$\leq (t_{i+1} - t_i) \cdot \|f - g\|_\infty$$

$$\Rightarrow \|\omega(1) - \omega(0)\|_\infty \leq \sum_{i=0}^n (t_{i+1} - t_i) \cdot \|f - g\|_\infty = \|f - g\|_\infty$$

$$\rightsquigarrow W_\infty(Dgm'(f), Dgm'(g)) = \inf_{\substack{x \rightarrow y \\ \text{bif.}}} \sup_{x \in Dgm'(f)} \|x - y(x)\|_\infty$$

$$\leq \sup_{x \in Dgm'(f)} \|x - \eta_0(x)\|_\infty$$

$$\leq \|f - g\|_\infty$$

q.e.d. /14

⑥ Der Wassersteinabstand

Bem.: der Flaschenhalsabstand wird durch den Abstand von einem Punktelpaar realisiert; und er kontrolliert nicht mehr das Verhalten von Punktpaaren, die eng zusammenliegen.

2

Def. Für bijektive endl. Teilmengen X und Y in \mathbb{R}^2
setze für $q \in (0, \infty)$

$$W_q(X, Y) = \left(\inf_{\begin{subarray}{c} \gamma: X \rightarrow Y \\ \text{bij.} \end{subarray}} \sum_{x \in X} \|x - \gamma(x)\|_\infty^q \right)^{1/q}$$

Der Wasserstein abstand zweier Peristew-diagramme $D_{\text{per}}'(f)$ und $D_{\text{per}}'(g)$ ist der

$$W_q(D_{\text{per}}'(f), D_{\text{per}}'(g))$$

Prop Es gilt

$$\lim_{q \rightarrow \infty} w_q(x, y) = w_\infty(x, y)$$

sowie:

- $w_q(x, y) = 0 \Leftrightarrow x = y$

- $w_q(x, y) = w_q(y, x)$

- $w_q(x, z) \leq w_q(x, y) + w_q(y, z)$

für drei bijektive, endliche Dreiecke mit $x, y, z \in \mathbb{R}^2$.

Bem: auch für w_q kann man einen Stabilitätsatz herleiten